



بیست و یکمین کنفرانس اپتیک و فوتونیک ایران
و هفتمین کنفرانس مهندسی و فناوری فوتونیک ایران
۲۳ تا ۲۵ دی ماه ۱۳۹۳، دانشگاه شهید بهشتی



بررسی اثر استتار ثابت دی الکتریک بر ضریب جذب اپتیکی چاه کوانتومی

فرناز جعفری^۱ و مجتبی ثروت خواه^۲

دانشگاه آزاد اسلامی، واحد مرودشت، دانشکده علوم، گروه فیزیک، مرودشت، ایران

دانشگاه آزاد اسلامی، واحد علوم تحقیقات، دانشکده علوم، گروه فیزیک، فارس، ایران

* servatkah@miau.ac.ir

گروه فیزیک، دانشکده علوم، واحد علوم تحقیقات، دانشگاه آزاد اسلامی، فارس، ایران

چکیده: در این مقاله اثر استتار ثابت دی الکتریک بر ضریب جذب اپتیکی خطی و مرتبه سوم غیر خطی یک چاه کوانتومی در حضور ناخالصی هیدروژنی بررسی شده است. به این منظور بر اساس روش ماتریس چگالی ضریب جذب خطی و مرتبه سوم غیر خطی به روش عددی محاسبه شده اند. نتایج نشان میدهد که حضور ناخالصی هیدروژنی باعث انتقال طیف جذبی به سمت انرژی های کمتر می شود و افزودن ناخالصی هیدروژنی باعث کاهش شدت بحرانی فوتون های تابیده شده در طیف جذبی چاه کوانتومی می شود.

کلید واژه: ضریب جذب خطی، ضریب جذب غیر خطی، چاه کوانتومی، ثابت دی الکتریک

Calculation of the screening effect of electric permittivity on the absorption coefficient of the a quantum well

Franaz Jafari^{1,2}, Mojtaba Servatkah^{* 1,2}

Department of Physics, Marvdasht Branch, Islamic Azad University, Marvdasht, Iran

Physics Department, Science and Research Branch, Islamic Azad University, Fars, Iran.

The effect of dielectric screening on linear and third order nonlinear absorption coefficient of a quantum well in presence of hydrogenic impurity is investigated. Density matrix approach was used to study the linear and third order nonlinear absorption coefficient. Energy eigenvalues and their corresponding eigenfunctions were enumerated numerically using finite element method. The results show that the presence of hydrogenic impurity causes the absorption spectrum move towards lower energies and increasing the impurity can reduce the critical intensity of incident photons in absorption spectrum of quantum well.

Keyword :Linear absorbtion, nonlinear absorption coefficient, quantum wells, the dielectric constant

:

۱- مقدمه

بدلیل کاربرد های چاه های کوانتومی در وسایل اپتیکی مطالعات زیادی بر روی خواص اپتیکی خطی و غیر خطی از جمله ضریب جذب، تغییرات ضریب شکست و پذیرفتاری اپتیکی در گذار های اپتیکی انجام شده است. به عنوان مثال، بررسی خواص اپتیکی چاههای کوانتومی چند گانه و اثر تعداد چاه ها بر ضریب جذب و ضریب شکست مرتبه اول و مرتبه سوم غیر خطی [1]، اثر میدان الکتریکی بر ضریب جذب و ضریب شکست خطی و مرتبه سوم غیر خطی یک ناخالصی هیدروژنی در یک چاه کوانتومی GaAs/AlGaAs [2]، بررسی اثر میدان های الکتریکی و مغناطیسی بر ضریب جذب و تغییرات ضریب شکست یک چاه کوانتومی دوگانه سهموی معکوس را میتوان نام برد [3].

۲- محاسبه خواص اپتیکی خطی و غیر خطی یک

چاه پتانسیل غیر متقارن

هنگامیکه یک محیط تحت تاثیر یک میدان الکترومغناطیسی خارجی قرار می گیرد نیرویی از سمت میدان بر الکترونها محیط وارد میگردد. الکترون های سیستم مقداری از انرژی میدان را جذب می کنند و یک گذار اپتیکی در سیستم رخ می دهد. به عبارت دیگر محیط قطبیده می شود. اگر میدان اعمال شده ضعیف باشد رابطه قطبیدگی و میدان تابشی خطی است اما اگر میدان تابیده شده خارجی به حد کافی بزرگ باشد، رابطه بین قطبش و میدان دیگر خطی نبوده و قطبیدگی به توانهای بالاتر میدان نیز وابسته می باشد. بنابراین در حد میدانهای قوی محیط ویژگیهای نوری بسیار جالبی از خود بروز میدهد.

برای بررسی خصوصیات خطی و غیر خطی نوری بر اساس روش ماتریس چگالی با استفاده از روش اختلال ویژه مقادیر انرژی و ویژه توابع متناظر را محاسبه میکنیم. فرض میکنیم که سیستم در حالت فیزیکی $\Psi(\vec{r}, t)$ باشد. تحول زمانی این حالت با معادله ی شرودینگر وابسته به زمان زیر توصیف می شود [5]:

$$i\hbar \frac{d}{dt} \Psi(\vec{r}, t) = H \Psi(\vec{r}, t) \quad (1)$$

که در آن H هامیلتونی ذره محبوس در چاه کوانتومی در حضور میدان الکترومغناطیسی خارجی $E(t) = \vec{E} e^{-i\omega t} + \vec{E}^* e^{i\omega t}$ با بسامد ω و راستای قطبش Z بوده و به صورت زیر تعریف می شود:

$$H = H' - eE(t)z \quad (2)$$

در این رابطه H' هامیلتونی مختل نشده ذره در چاه کوانتومی است سپس با استفاده از از روشهای اختلالی و استفاده از روابط اپتیکی به محاسبه ضریب جذب مرتبه اول و مرتبه سوم غیر خطی رامحاسبه می نماییم [4]:

$$\alpha^{(1)}(\omega) = \omega \sqrt{\frac{\mu}{\epsilon_R}} \frac{\sigma_V |M_{12}|^2 \hbar \Gamma_{12}}{(E_{21} - \hbar\omega)^2 + (\hbar\Gamma_{12})^2} \quad (3)$$

$$(4)$$

$$\alpha^{(3)}(\omega) = -\omega \sqrt{\frac{\mu}{\epsilon_R}} \left(\frac{I}{2\epsilon_0 n_r c} \right) \frac{\sigma_V |M_{12}|^2 \hbar \Gamma_{12}}{(E_{21} - \hbar\omega)^2 + (\hbar\Gamma_{12})^2} \{ 4|M_{12}|^2 - \frac{(M_{22} - M_{11})^2 [3E_{21}^2 - 4E_{21}\hbar\omega + \hbar^2(\omega^2 - \Gamma_{12}^2)]}{E_{21}^2 + (\hbar\Gamma)^2} \}$$

که در این روابط:

σ_V چگالی ذرات موجود در سیستم، E_{21} اختلاف انرژی بین حالت پایه و اولین حالت برانگیخته ω فرکانس میدان الکترومغناطیسی ورودی، Γ_{12} زمان واهلش بین حالت پایه و اولین حالت برانگیخته، E_0 ثابت دی الکتریک خلا می باشد.

۲-۱ محاسبه اثر ثابت دی الکتریک استتار شده بر

ضریب جذب یک چاه کوانتومی

زمانیکه یک بار نقطه ای به عنوان یک عنصر دهنده الکترون در یک نیمه هادی وارد می شود الکترون های نوار ظرفیت این بار نقطه ای را استتار می کنند. ساختار مورد نظر ما یک ناخالصی هیدروژنی می باشد که در مرکز یک چاه کوانتومی از جنس GaAs/Ga_{1-x}Al_xAs قرار دارد. در ابتدا هدف محاسبه ویژه مقادیر و ویژه توابع انرژی و سپس بررسی اثر استتار ثابت دی الکتریک بر خواص اپتیکی این ساختار می باشد. هامیلتونی یک الکترون در حضور ناخالصی هیدروژنی به صورت زیر می باشد [8]

$$H = -\frac{p^2}{2m^*(z)} - \frac{e^2}{4\pi\epsilon(z)z} + V_W(z) \quad (5)$$

که در این رابطه $\epsilon(z)$ ثابت دی الکتریک استتار شده است. در رابطه $V_W(z)$ پتانسیل محدود کننده می باشد. فرض کنیم که چاه کوانتومی در یک محیط نیمه هادی از جنس Ga_{1-x}Al_xAs قرار دارد که در این صورت پتانسیل محدود کننده برابر

$$V_W(z) = \begin{cases} 0 & |z| < L/2 \\ V & \text{بقیه جاها} \end{cases} \quad (6)$$

که در این رابطه L طول چاه کوانتومی و V ارتفاع چاه پتانسیل است که از روابط زیر محاسبه می شود:

$$V = 0.658 \Delta E_g(x) \quad (7)$$

که در این رابطه x غلظت آلومینیوم و $\Delta E_g(x)$ اختلاف گاف بین GaAs و $\text{Ga}_{1-x}\text{Al}_x\text{As}$ می باشد [8]:

$$\Delta E_g(x) = 1.1555x + 0.37x^2 \quad (8)$$

از طرف دیگر با توجه به اینکه جنس ماده نیمه هادی به کار رفته در چاه پتانسیل و محیط اطراف آن با هم متفاوت است جرم موثر الکترون در این دو محیط نیز متفاوت است. در محاسبات جرم موثر الکترون را به دو صورت در نظر میگیریم [6]:

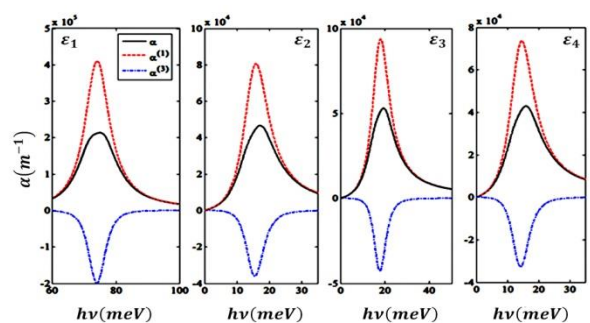
(9)

$$m^*(z) = \begin{cases} m_w^* = 0.067m_0 & \text{درون چاه} \\ m_b^* = (0.067 + 0.083x) & \text{درون سد} \end{cases}$$

که در این رابطه x غلظت آلومینیوم می باشد

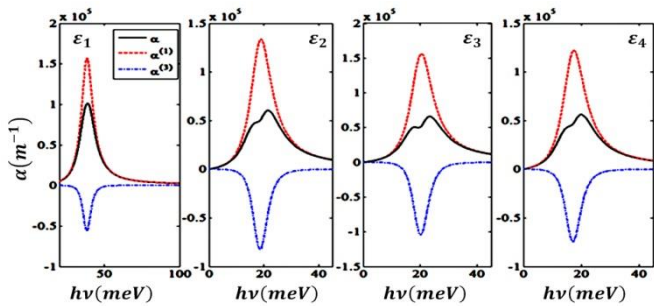
۲-۲ بررسی تاثیر ناخالصی هیدروژنی، توابع استتار متفاوت، چگالی آلومینیوم و شدت فوتون های ورودی بر ضریب جذب خطی و مرتبه سوم غیر خطی

در این بخش به بررسی تاثیر ناخالصی هیدروژنی، توابع استتار متفاوت طبق جدول ۱، و چگالی آلومینیوم بر طیف اپتیکی سیستم می پردازیم.



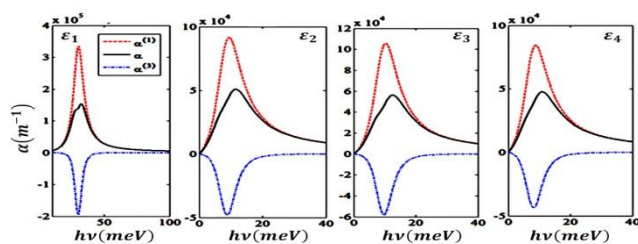
شکل ۱. نمودارهای ضریب جذب خطی، مرتبه سوم غیر خطی و ضریب جذب کلی به صورت تابعی از انرژی فوتون تابشی در حضور ناخالصی هیدروژنی و به ازای توابع استتار متفاوت، $L = 8 \text{ nm}$ و $x = 0.3$

با مقایسه نمودارهای رسم شده در شکل ۱ مشاهده میشود که در حضور ناخالصی هیدروژنی قله نمودار ضریب جذب به ازای توابع استتار E_2 ، E_3 و E_4 نسبت به تابع استتار E_1 جابجایی به سمت انرژی های کمتر جابجا می شود (جابجایی قرمز).



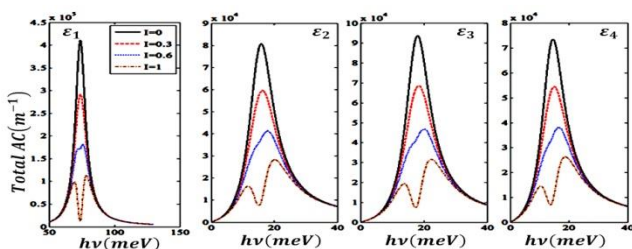
شکل ۲. نمودارهای ضریب جذب خطی، مرتبه سوم غیر خطی و ضریب جذب کل به صورت تابعی از انرژی فوتون تابشی در حضور ناخالصی هیدروژنی و به ازای توابع استتار متفاوت، $L = 5 \text{ nm}$ و $x = 0.3$.

با مقایسه شکل های ۱ و ۲ ملاحظه می شود که با کاهش طول چاه کوانتومی (از 8 nm به 5 nm) در حضور ناخالصی بیشینه ضریب جذب کل سیستم کاهش میابد. این به دلیل کاهش ممان های دوقطبی بین حالت پایه و اولین حالت برانگیخته می باشد. همچنین با کاهش طول چاه نسبت به حالت قبل طیف جذبی سیستم به سمت انرژی های بیشتر جابجا می شود که این به دلیل افزایش اختلاف انرژی بین حالت پایه و اولین حالت برانگیخته می باشد.



شکل ۳. نمودارهای ضریب جذب خطی، مرتبه سوم غیر خطی و ضریب جذب کلی به صورت تابعی از انرژی فوتون تابشی در حضور ناخالصی هیدروژنی و به ازای توابع استتار متفاوت، $L = 8 \text{ nm}$ و $x = 0.15$

با توجه به این نمودارهای (شکل ۳) مشاهده میکنیم که با کاهش غلظت آلومینیوم (از 0.3 به 0.15) طیف های جذبی به سمت انرژی های کمتر جابجایی پیدا می کنند که این به دلیل کاهش اختلاف انرژی بین حالت پایه و اولین حالت برانگیخته می باشد.



شکل ۴. نمودار ضریب جذب کل به صورت تابعی از انرژی فوتون های ورودی و به ازای مقادیر متفاوت شدت فوتون های تابشی در حضور ناخالصی هیدروژنی برای $L = 8 \text{ nm}$ و $x = 0.3$.

۳- نتیجه

در پایان با بررسی و مقایسه نمودارهای رسم شده به طور خلاصه نتایج زیر مشاهده گردید:

در بررسی طیف جذبی و ضریب جذب با توابع استتار متفاوت به این نتیجه رسیدیم که حضور ناخالصی هیدروژنی باعث انتقال طیف جذبی به سمت انرژی های کمتر می شود. به ازای چاه های کوانتومی با طول کمتر همچنان حضور ناخالصی باعث جابجایی طیف جذبی به سمت انرژی های کمتر می شود. با کاهش غلظت آلومینیم طیف های جذبی به سمت انرژی های کمتر انتقال پیدا می کنند که به دلیل کاهش اختلاف انرژی بین حالت پایه و اولین حالت برانگیخته می باشد. افزودن ناخالصی هیدروژنی باعث کاهش شدت بحرانی فوتون های تابیده شده می شود. با کاهش طول چاه کوانتومی شدت بحرانی افزایش می یابد همچنین کاهش چگالی آلومینیم در حضور ناخالصی هیدروژنی نیز باعث کاهش شدت بحرانی یا به عبارت دیگر رسیدن سیستم به حالت اشباع در شدت های پایین می شود.

مراجع

[1] Yesilgul U., Ugan F., Sakiroglu S., Mora-Ramos M.E., Duque C.A., Kasapoglu E., Sari H., Sökmen I., Journal of Luminescence 145, 379–386(2014).

[2] Zeiri N., Sfin N., Abdi-Ben Nasrallah S., Said M., Optik 124, 7044–7048,(2013).

[3] Zeiri N., Sfin N., Abdi-Ben Nasrallah S., Said M., Optik 124, 7044–7048,(2013)..

Calculation of the electronic properties of a "[4] Vahdani M.R.K., , 2-12, 63-84 (2008)."hydrogenic impurity in lens and semilens shaped

[5] Boyd R.W., "Nonlinear Optics", 3d ed., Academic Press,2007

[6] John Peter A., Superlattices and Microstructures 47442–451, (2010).

[7] Nithiananthi P., Jayakumar K., Physica B 391113–117, (2007).

[8] Rajashabala S., Navaneethakrishna K.n, Superlattices and Microstructures 43,247–261, (2008).

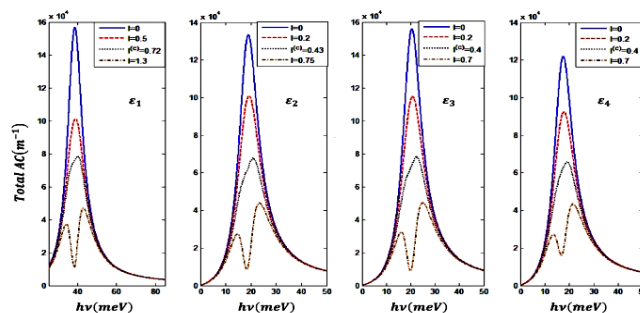
[9] Solaimani M., Morteza I., Arabshahi H., Sarkardehi M.R., Journal of Luminescence 134, 699–705(2013).

[10] Vahdani M.R.K., "Calculation of the electronic properties of a hydrogenic impurity in lens and semilens shaped", 2-12, 63-84 (2008).

[11]Kasapoglu, F. Ugan, C.A. Duque, U. Yesilgul, M.E. Mora-Ramos, H. Sari, I. Sökmen, Physica E.,

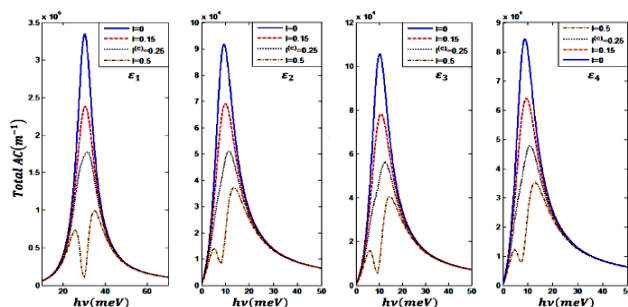
[12] S. Rajashabala, K. Navaneethakrishnan, Superlattices and Microstructures 43 (2008) 247–261.

همچنین با توجه به شکل ۴ دیده می شود که حالت اشباع (نمودار آبی رنگ) در سیستم به ازای ϵ_1 در شدت های پایین تری نسبت به بقیه توابع استتار اتفاق می افتد.



شکل ۵. نمودار ضریب جذب کل به صورت تابعی از انرژی فوتون های ورودی و به ازای مقادیر متفاوت شدت فوتون های تابشی در حضور ناخالصی هیدروژنی برای $x = 0.3$ و $L = 5$ nm

مشاهده می شود که با کاهش طول چاه کوانتومی شدت بحرانی افزایش می یابد.(شکل ۵)



۶. نمودار ضریب جذب کل به صورت تابعی از انرژی فوتون های ورودی و به ازای مقادیر متفاوت شدت فوتون های تابشی در حضور ناخالصی هیدروژنی برای $x = 0.15$ و $L = 8$ nm

واضح است که کاهش چگالی آلومینیم در حضور ناخالصی هیدروژنی نیز باعث کاهش شدت بحرانی یا به عبارت دیگر رسیدن سیستم به حالت اشباع در شدت های پایین می شود.

جدول ۱ توابع استتار متفاوت مربوط به گذر دهی الکتریکی

$\epsilon(z)$	تابع	توضیحات
ϵ_1 <td>$\epsilon_r \epsilon_0$ <td>ثابت دی الکتریک استاتیک برابر $\epsilon_r = 12.65$ [12]</td> </td>	$\epsilon_r \epsilon_0$ <td>ثابت دی الکتریک استاتیک برابر $\epsilon_r = 12.65$ [12]</td>	ثابت دی الکتریک استاتیک برابر $\epsilon_r = 12.65$ [12]
ϵ_2 <td>$\left[\epsilon_r^{-1} + (1 - \epsilon_r^{-1}) \exp\left(-\frac{2z}{a}\right) \right]^{-1} \epsilon_0$</td> <td>یک $a = 1.2 a.u$ که a چهارم فاصله هر اتم تا نزدیکترین همسایه خود است [12]</td>	$\left[\epsilon_r^{-1} + (1 - \epsilon_r^{-1}) \exp\left(-\frac{2z}{a}\right) \right]^{-1} \epsilon_0$	یک $a = 1.2 a.u$ که a چهارم فاصله هر اتم تا نزدیکترین همسایه خود است [12]
ϵ_3 <td>$\left[\frac{a_1 + a_2 \exp(-b_1 z)}{1 + B_1 z} + a_3 \exp(-b_2 z) \right]^{-1} \epsilon_0$</td> <td>$a_1 = 0.07634$ ، $a_2 = 0.87244$ ، $a_3 = 0.05122$ ، $b_1 = 1.6977$ و $b_2 = 0.3435$ [12]</td>	$\left[\frac{a_1 + a_2 \exp(-b_1 z)}{1 + B_1 z} + a_3 \exp(-b_2 z) \right]^{-1} \epsilon_0$	$a_1 = 0.07634$ ، $a_2 = 0.87244$ ، $a_3 = 0.05122$ ، $b_1 = 1.6977$ و $b_2 = 0.3435$ [12]
ϵ_4 <td>$\begin{cases} \frac{1}{1 + B_1 z} \epsilon_0 & z < L \\ \epsilon_r \epsilon_0 & z > L \end{cases}$</td> <td>و $B_1 = \frac{(\epsilon_0^{-1} - 1)}{R}$ $R = 4.4 a.u$ [12]</td>	$\begin{cases} \frac{1}{1 + B_1 z} \epsilon_0 & z < L \\ \epsilon_r \epsilon_0 & z > L \end{cases}$	و $B_1 = \frac{(\epsilon_0^{-1} - 1)}{R}$ $R = 4.4 a.u$ [12]